

## II-144 平衡状態にある2次元 Sand Waves の形状について

東京工業大学 正員 吉川 秀夫  
同 学生員 石川 忠晴

### 1. はじめに

Sand Waves が充分発達するとあまり変形せずに伝播するようになる。すなわち、流れ、流砂量、形状の間にほぼ平衡な関係が成り立つと考えられる。そこで平衡な状態にある Sand Waves が満足しなければならぬ条件について以下の考察をおこなった。

### 2. 形状とセン断力分布について

Sand Waves の伝播速度が流速に較べて遅いことから各時点での流れを準定常状態とみなせば、河床形状と河床材料から流れは決まる。次にこの流れから流砂量が決まりそのアンバランスから河床が変形するが、その結果 Sand Waves が形を変えずに移動するならばその Sand Waves は平衡状態にあって安定であると言える。

流砂が掃流状態にある場合を考えれば流砂の連続条件から  
次式が求まる。

$$g_B = (1-\lambda) \cdot C \cdot \gamma \quad \dots (1)$$

$\gamma$ : reattachment pointからの河床高  
 $g_B$ : 流砂量,  $\lambda$ : 空隙率,  $C$ : 伝播速度

掃流砂量を次式で近似する。

$$g_B = \alpha \cdot T_0^n \quad \dots (2)$$

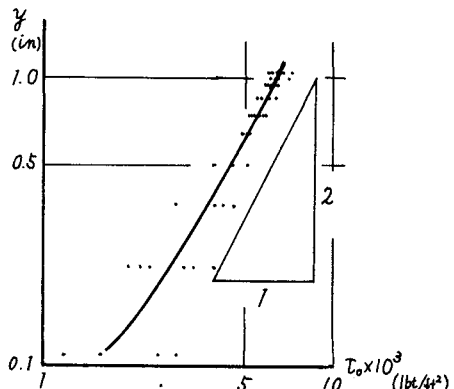


図1  $\gamma$  と  $T_0$  の関係 (Raudkivi の実験より)

(1), (2)より次の関係が求まる。

$$\gamma = \frac{\alpha}{(1-\lambda) \cdot C} \cdot T_0^n \quad \dots (3)$$

図1はRaudkiviの実験結果を $\gamma$ と $T_0$ について整理したものであるが、 $\gamma$ は2となっている。

$$n = 2 \quad \dots (4)$$

(1) Raudkivi; Loose Boundary Hydraulics

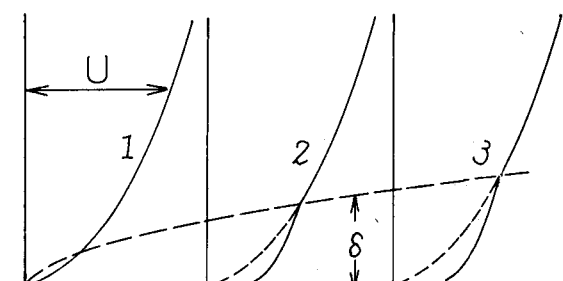


図2 内部境界層の移動と速度分布の変化 (1)

### 3. 内部境界層の発達とセン断力の変化

reattachment point からは内部境界層が発達しており、底面セン断力の変化はこれに支配されていると考えられる。流れは剥離流線上で強いセン断を受けた後がる為に、reattachment point 附近では速度分布は極端にやせた形になっている。底面の粗度によるセン断は剥離流線上のそれに較べて小さいので、これに見合った速度分布はより一様分布に近いはずである。したがって内部境界層の発達に伴う速度分布の変化は図2のようになると考えられる。

inner law が成立するとして境界層内で対数則分布に従うとすれば図3のようになり、これからではゼロから徐々に増加してある値に漸近していくことがわかる。

Bradshaw & Wong<sup>(2)</sup>は段落ち背後の reattachment point からの境界層内のセン断力を風洞で測定している。(図4)

Bradshaw らの実験では段落ち量 2.5 cm、風洞高さ 12.5 cm で Raudkivi の Sand Waves (波高 2.6 cm、水深 14 cm) とほぼ同じ大きさであり、reattachment point の位置もほとんど同じである。そこでこの2つの結果を重ねたのが図5である。ただしクレスト上で一致するように縦軸のスケールを調整し形を比較している。これから境界層内のセン断力のZ乗の変化と Sand Waves の形状とがほぼ相似形をしていることがわかる。(すなわち (3),(4) の関係を満たしている。)

図6はアインシュタインの掃流砂関数で図中の直線が(2)式で  $n=2$  としたものである。アインシュタインは砂粒にかかる平均的なセン断力として  $\tau$  を用いており、(2)式の局所的なセン断力と多少意味が異なるが、流砂量との間には同じような関係が成り立っている。

### 4.まとめ

Sand Waves の高さは各点での底面セン断力のZ乗に比例する。ただしこのセン断力は平均流速やエネルギー勾配から求められるものではなく、内部境界層の発達に支配されている。

図6 掃流砂量式(応用水理学より)→

(2) Bradshaw & Wong ; The reattachment and relaxation of a turbulent shear layer , J.F.M. , 1972

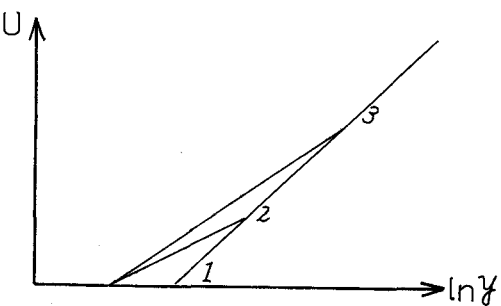


図3 内部境界層の発達と速度分布の変化 (2)

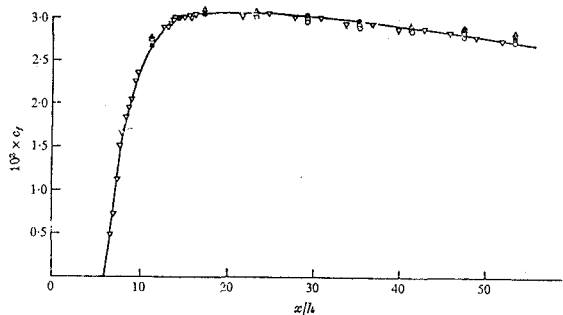


図4 内部境界層内の底面セン断力の変化 (Bradshaw)

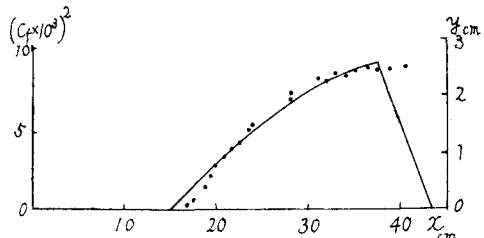


図5 底面セン断力と Sand Waves の形状

